

泉州市 2026 届高中毕业班模拟考试（一）

2026.03

高三地理

（本试题卷共 6 页；全卷满分 100 分；考试用时 75 分钟）

★龙马精神★

注意事项：

1. 本试题卷分第I卷（选择题）和第II卷（非选择题）两部分。答卷前，考生务必将自己的姓名、准考证号填写在答题卡上。
2. 回答第I卷时，选出每小题答案后，用 2B 铅笔把答题卡上相对应题目的标号涂黑。如需改动，用橡皮擦干净后，再选涂其它答案标号。写在试题卷、草稿纸和答题卡上的非答题区域均无效。
3. 回答第II卷时，使用 0.5 毫米的黑色中性（签字）笔或碳素笔书写，将答案写在答题卡的相应位置上。写在试题卷、草稿纸和答题卡上的非答题区域均无效。
4. 保持答题卡卡面清洁，不折叠，不破损。

第 I 卷（选择题 共 48 分）

一、选择题：共 16 小题，每小题 3 分，在每小题给出的四个选项中，只有一项是最符合题目要求。

南安市地处我国东南沿海，是国内重要的石材、水暖产业集聚基地，近年来全力推进产业智能化、绿色化、全球化转型。当地打造“数字化仓储物流+场景化销售”全年运营展销平台（图 1），并用石材废料（石粉）生产石塑包装箱，服务本地水暖等产业。当地龙头企业在中东地区布局集展示、加工、销售、服务于一体的综合基地。据此完成 1~3 题。

1. 南安市石材龙头企业在中东布局综合基地，主要考虑的区位因素是

- A. 消费市场 B. 矿产原料
C. 廉价劳动力 D. 生产技术

2. 打造“数字化仓储物流+场景化销售”全年运营展销平台，有利于当地产业

- ①拓展石材贸易时空范围
②提升原料资源利用效率
③升级产业核心生产技术
④强化产销协同集群效应

- A. ①② B. ①④ C. ②③ D. ③④

3. 与直接外购石塑产品相比，当地推动利用石粉生产石塑产品的主要目的是

- A. 降低原料采购成本，提高企业经济效益
B. 提升产品性能质量，增强市场竞争力
C. 延伸本地产业链条，塑造区域产业品牌
D. 消纳本地石材废料，形成循环经济模式

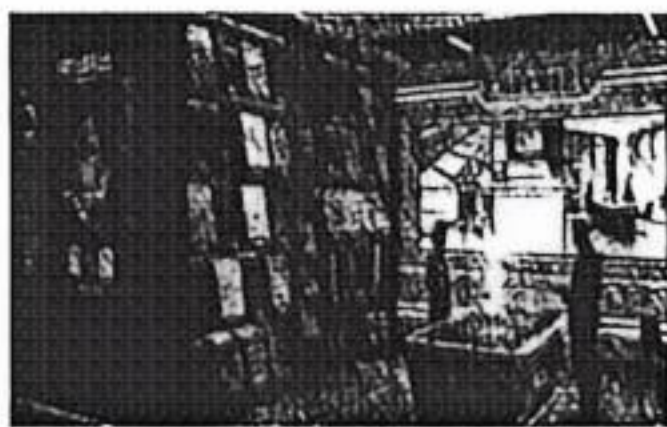


图 1

甲地(46.77° N, 23.97° E)位于东欧平原,历史上森林广布,千年前已被开垦为农田,20世纪末大规模弃耕,弃耕后当地居民仍持续在弃耕农田放牧和割草。该地弃耕农田在弃耕的第1年,一年生杂草占优势,第2年起,多年生禾草(耐旱、耐牧)开始迅速替代一年生杂草成为优势种。弃耕40年后植被稳定在生物多样性较为丰富的草地阶段,未演替为森林。图2为甲地气候统计图。据此完成4~6题。

4. 弃耕40年后该地仍未演替为森林,主要是因为
- A. 年降水量不足 B. 土壤肥力下降
C. 人类活动影响 D. 热量条件不足
5. 弃耕初期一年生杂草仅在第1年占优势,之后迅速被多年生禾草取代,主要原因是第2年起
- A. 多年生禾草减弱地面光照
B. 多年生禾草生长速度更快
C. 一年生杂草耗尽土壤肥力
D. 一年生杂草无法越过寒冬
6. 研究表明,弃耕后持续的放牧和割草活动会导致
- A. 降低植被覆盖度,加剧土壤侵蚀程度
B. 减少种间竞争压力,维护生物多样性
C. 促进木本植物入侵,加速向森林演替
D. 物种发展失衡,少数优势种垄断资源

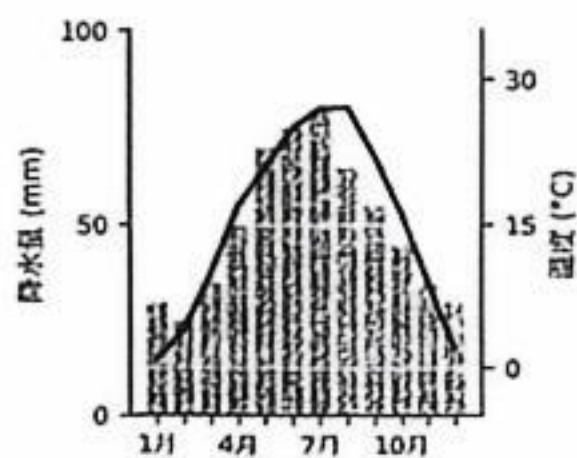


图2

柴达木盆地存在大面积盐碱地,发育了大量侵蚀型沙丘。这些沙丘整体趋于圆滑和扁平,部分沙丘一翼被拉伸成线形沙丘。其成因是先期胶结硬化的沙丘遭受风蚀,下风向处风蚀物堆积使沙丘不断延伸。图3示意柴达木盆地侵蚀型沙丘和线形沙丘。据此完成7~8题。

7. 柴达木盆地形成侵蚀型沙丘的条件是
- A. 气候暖湿,沙丘沙粒粘滞性强
B. 盆地沙源充足,植被覆盖率低
C. 沙丘表面结皮,阻碍沙丘流动
D. 冰川搬运带来大量松散沉积物
8. 与典型新月形沙丘相比,柴达木盆地侵蚀型沙丘
- A. 沙层厚度显著增大
B. 沙丘链垂直于风向
C. 落沙坡颗粒较大
D. 迎风坡坡度较陡



图3

浮空风力发电是利用氦气浮空器将发电系统送至高空,将风能转化为电能,再通过电缆输送至地面的发电技术(图4)。2026年1月,全球首台适配城市场景的兆瓦级浮空风力发电系统在四川宜宾成功升空,完成并网发电测试,标志着该技术从偏远地区实验迈入城市应用新阶段。这也是浮空风力发电机首次升至2000米高度,该系统未来有望被送入平流层。据此完成9~11题。

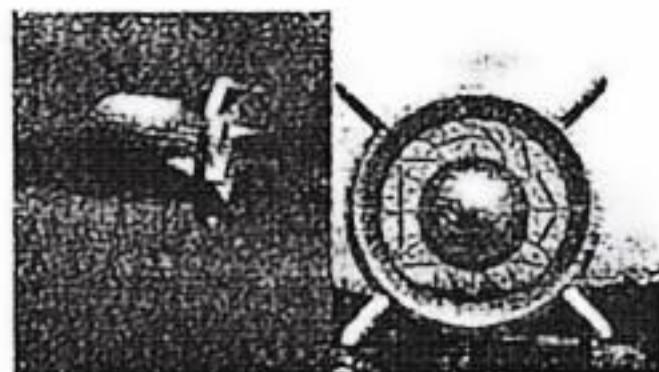


图4

9. 与地面风力发电相比, 浮空风力发电系统高空发电的优势是
 A. 气压梯度力大 B. 风力稳定强劲 C. 地转偏向力弱 D. 避开云雨天气
10. 浮空风力发电从偏远地区实验迈入城市应用, 需要解决的主要问题是
 A. 空域协调难度大 B. 设备维护成本高
 C. 电力市场需求旺 D. 热岛效应对流强
11. 与 2000 米高度相比, 浮空风力发电系统进入平流层面临的主要困难有
 A. 太阳辐射强 B. 垂直对流小 C. 风速较小 D. 空气稀薄

青藏高原与印度洋热力差异是影响南亚季风活动的重要因素, 近年来, 青藏高原—印度洋夏季热力差异呈增大趋势, 这对区域气候与环境产生一定影响。高原增暖可以通过一定的反馈机制降低北印度洋海洋表层温度。图 5 示意该区域四个季节对流层平均温度。据此完成 12~14 题。

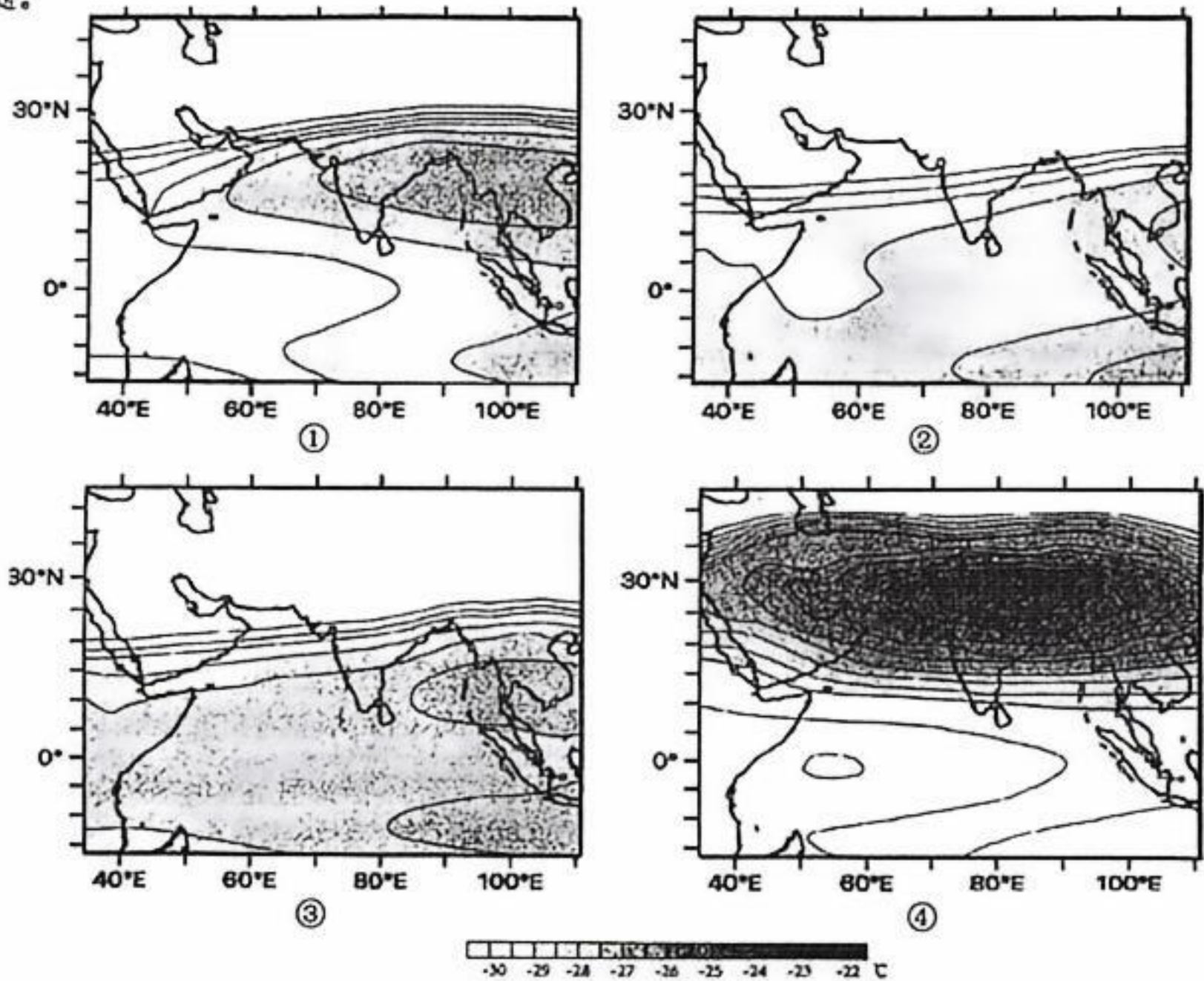


图 5

12. 图中表示春、夏、秋、冬的正确顺序是
 A. ①②③④ B. ③④②① C. ③②①④ D. ③④①②
13. 青藏高原—印度洋夏季热力差异增大造成
 A. 青藏高原对流层厚度减小 B. 北印度洋海域降水增加
 C. 恒河流域夏季水位升高 D. 高寒草甸分布高度下移
14. 高原增暖降低北印度洋海洋表层温度的反馈机制中, 关键环节是
 A. 西南季风增强 B. 东北季风增强
 C. 地面辐射减弱 D. 太阳辐射减弱

槽式太阳能集热器是利用槽形反射镜将太阳光聚在集热管上，用来收集太阳能的设备。某槽式太阳能集热器只需每天微调一次槽式集热器的旋转角度，使中心法线固定指向正午太阳。图6示意该槽式太阳能集热器，图7示意槽式太阳能集热器原理。据此完成15~16题。

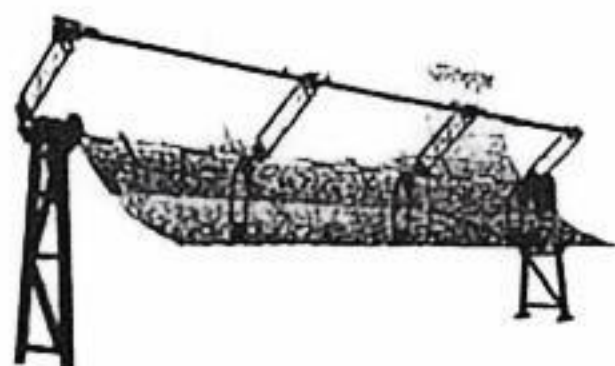


图6



图7

15. 在北京、南京、海口等地设置的槽式太阳能集热器中心法线在一年内的摆动角度是
 A. 北京最大 B. 南京最大 C. 海口最大 D. 三地相等
16. 位于北京的槽式太阳能集热器从日出到开始集热间隔时间最久是
 A. 春分 B. 夏至 C. 秋分 D. 冬至

第Ⅱ卷（综合题 共52分）

二、非选择题：本题共3小题，共52分。

17. 阅读图文资料，完成下列要求。（10分）

人工智能技术在滑坡灾害监测与预警中得到广泛应用，通过“异常检测—数据关联—模型参数优化—位移预测—动态预警”的技术流程，显著提升了预警的精准度。但受限于异常样本稀缺、多源数据的整合能力不足等问题，现有预警模型在不同区域的适应性仍有待提升。图8示意人工智能在滑坡监测预警领域的应用流程图。

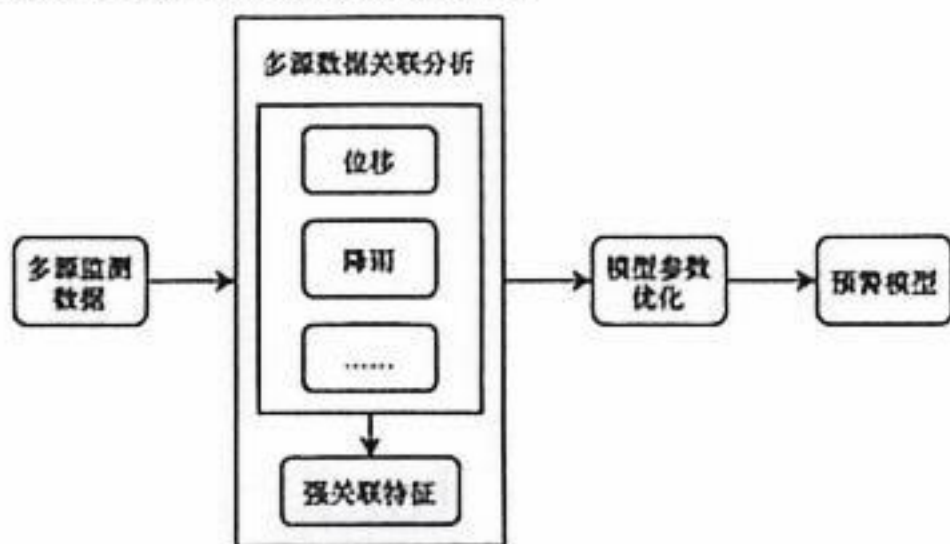


图8

- (1) 在多源数据关联分析环节中，请补充还需要获取的环境要素监测数据。（4分）
- (2) 根据青藏高原自然环境特征建立的滑坡预警模型在我国东南丘陵适用性较差，请选取两个监测数据加以说明。（6分）

18. 阅读图文材料，完成下列要求。(22分)

城市地下物流系统是指在城市地下空间利用管道、隧道等设施，实现货物运输的新型物流模式。地铁物流作为其中的重要形式，由地铁集团与快递企业合作，依托既有的地铁网络，在非客运高峰时段，通过专用容器、无人车接驳等，运用专用车厢、货箱等载体开展货物运输。其核心在于“错峰”与“接驳”，保障乘客优先原则。近年来，我国北京等特大城市试点地铁物流，促进城市的可持续发展。H城是我国东北地区特大城市，图9示意H城地铁线路。

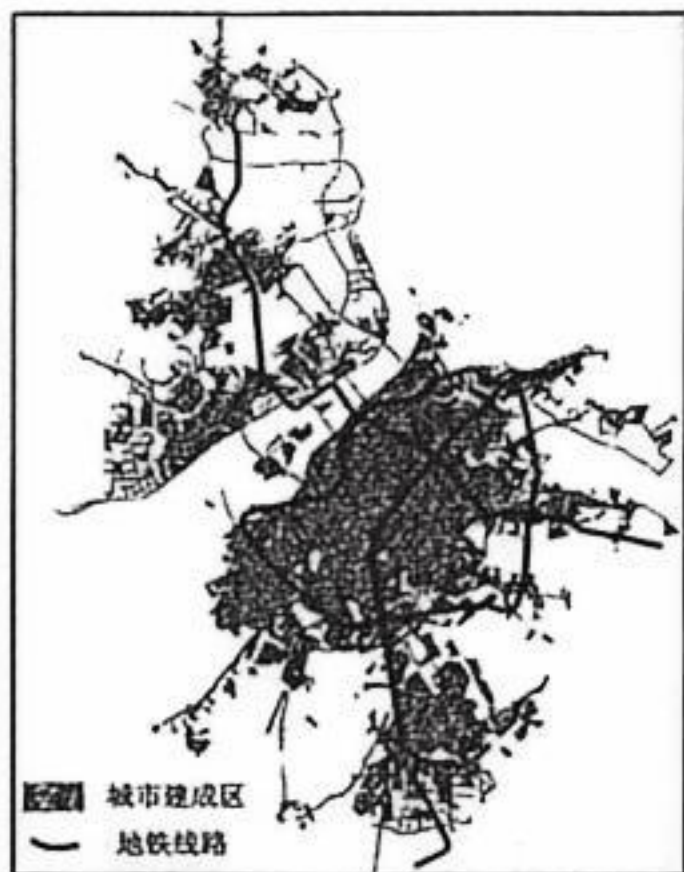


图9

- (1) 分析北京等特大城市发展地铁物流的有利条件。(6分)
- (2) 与地上物流相比，说明地铁物流对城市发展的积极影响。(8分)
- (3) 北京等特大城市评估地铁物流发展的可行性需要调查既有交通线路、地铁运输能力、货物需求等方面资料，请提出具体调查内容。(4分)
- (4) 近年来随着旅游业发展，H城地铁客运量增大。结合该城地铁线路，判断是否支持该城市发展地铁物流，请表明观点并说明理由。(4分)

19. 阅读图文材料，完成下列要求。(20分)

阿拉伯板块和亚欧大陆的碰撞导致了扎格罗斯造山带和前陆盆地的形成，持续的沉积过程致使海水最终从扎格罗斯前陆盆地退出。研究人员对扎格罗斯前陆盆地的甲、乙两地展开研究。研究发现，甲地地表出露B组、A组与G组地层，乙地地表出露B组、A组、M组、G组地层。甲地的A组地层多为砂—泥岩，主要形成于河流环境，沉积物主要来自其北部的变质岩带，而乙地的A组地层则形成于三角洲环境；两地的B组同为分选差、颗粒较粗的砾岩，G组和M组则以形成于浅海环境的钙质泥岩为主。图10(a)示意扎格罗斯地区地质环境，图10(b)示意各地层形成的时间顺序。

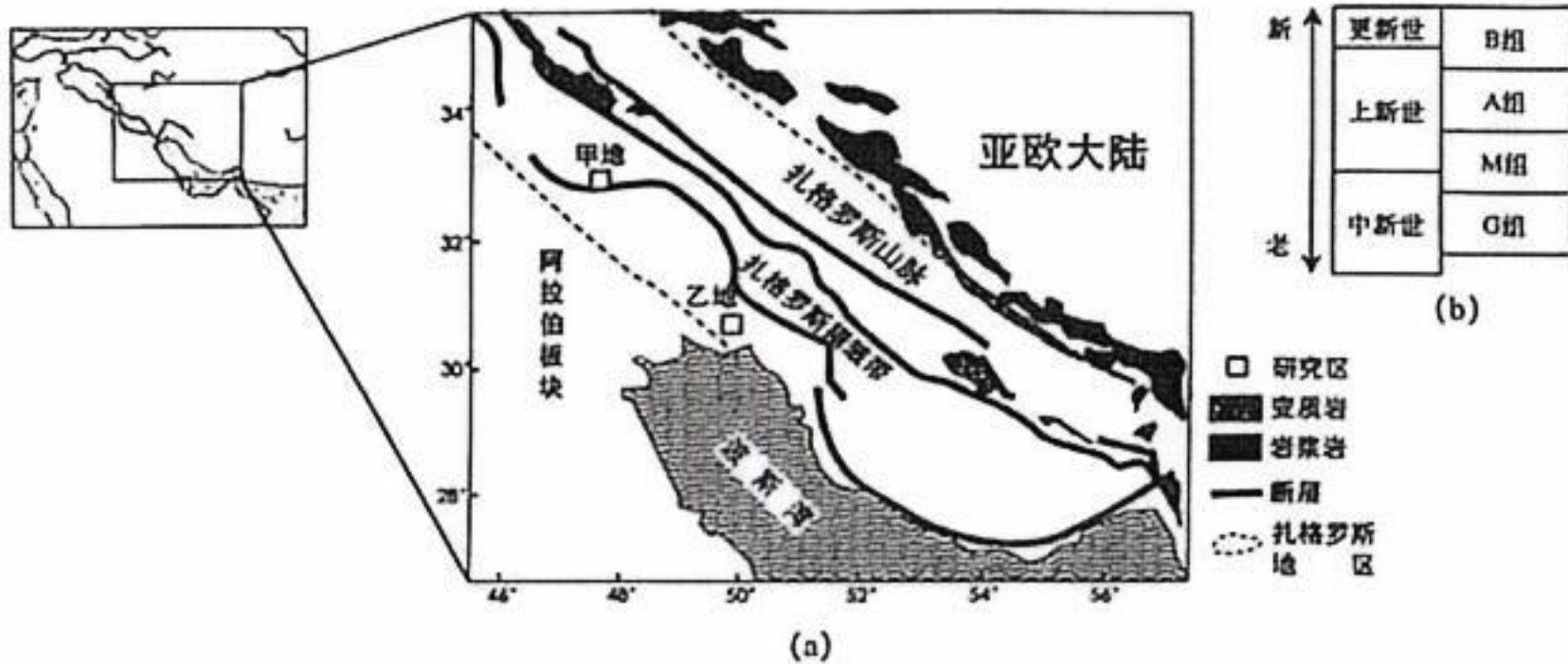


图 10

(1) 从图中找出两个能够证明扎格罗斯造山带是由板块碰撞形成的证据，并说明理由。(8分)

(2) 根据甲、乙两地的沉积地层特征，推测海水从扎格罗斯前陆盆地退出的方向并加以说明。(6分)

(3) 从内、外力作用角度说明扎格罗斯前陆盆地从海洋演化为陆地的过程。(6分)

泉州市 2026 届高中毕业班地理模拟（一）参考答案

2026.03

二、非选择题

17. (10分)

(1) 在多源数据关联分析环节中，请补充还需要获取的环境要素监测数据。(4分)

(任答2点，每点2分)

数据：岩体（土体）性质，地下水位，植被覆盖度、岩土含水率、气温、地形坡度

(2) 根据青藏高原自然环境特征建立的滑坡预警模型在我国东南丘陵适用性较差，
请选取两个监测数据加以说明。(6分)

(每点2分，任答3个点)

气候与降水：青藏高原降水少，滑坡多由冻融诱发；

东南丘陵降水多、暴雨频繁，滑坡由强降雨驱动。

岩土性质：青藏高原多冻土层、坚硬岩质；

东南丘陵多风化红壤、松散土体，遇水易软化失稳

地形与重力条件：青藏高原地形高差大，运动速度快；

东南丘陵低山丘陵为主，坡度相对平缓，多为浅层土体滑坡。

植被与水文差异：青藏高原植被稀疏，地表径流汇流快；

东南丘陵植被茂密，根系固土与枯枝落叶截留作用显著。

18. (22分)

(1) 分析北京等特大城市发展地铁物流的有利条件。(6分)

(每点2分，任答3点)

特大城市地铁网络密集，覆盖范围广；(2分)

地铁运力峰谷差异显著，(2分)

利用非高峰时段及部分线路闲置运力，提升地铁网络综合利用率；(2分)

城市人口密集、产业集中，货物运输需求量大，物流市场广阔；(2分)

地面交通拥堵严重，地铁物流受地面交通影响小，运输效率高。(2分)

(2) 与地上物流相比，说明地铁物流对城市发展的积极影响。(8分)

缓解地面交通压力，减少交通拥堵，降低交通事故发生率；(2分)

减少公路物流车辆尾气排放，降低碳排放，改善城市大气环境；(2分)

缩短货物运输时间，提高物流效率，降低企业物流成本；(2分)

充分利用地下空间，节约城市地面土地资源，优化城市空间结构。(2分)

(3) 北京等特大城市评估地铁物流发展的可行性需要调查既有交通线路、地铁运输能力、货物需求等方面资料。请提出具体调查内容。(4分)

(每点1分,任答4点)

地铁网络密集程度(1分)

既有地铁线路非高峰时段的运力空闲时间;(1分)

沿线重点区域(商业区、产业园)的日均货运量及货物体积、重量特征;(1分)

地铁站点周边地面物流接驳点数量与空间距离(“地下一地面”快速转运效率);(1分)

对既有地铁车厢的改造技术难度。(1分)

(4) 近年来随着旅游业发展,H城地铁客运量增大。结合该城地铁线路,判断是否支持该城发展地铁物流,请表明观点并说明理由。(4分)

(每点2分,任答2点)

支持理由:

① 线路覆盖主要建成区,覆盖面广,运输需求旺盛;(2分)

② 经过大量非建成区,有充足仓储用地;(2分)

③ 与地面相比,地铁物流受气候和地面路况影响小,可保障货运稳定与时效;(2分)

④ 社会经济发展,有足够的发展空间。(2分)

反对理由:

① 地铁线路覆盖范围有限,通达性不足,对货运效率提升有限;(2分)

② 东北地区经济发展较慢,人口流失,客运增长需要压力大;(2分)

③ 地铁客运压力大,地铁物流加大地铁运营的负荷。(2分)

19. (20分)

(1) 从图中找出两个能够证明扎格罗斯造山带是由板块碰撞形成的证据,并说明理由。(8分)

证据:该地存在平行于板块边界的褶皱带和断裂带;(2分)

(山脉走向与褶皱带大致平行)

理由:板块碰撞会形成与板块交界平行的褶皱带、褶皱山脉和断裂带;(2分)

证据:该地存在平行于板块边界的岩浆岩带、变质岩带;(2分)

理由:断裂带上易出现大量岩浆活动;而形成于地下的变质岩大量出露,说明出现地壳抬升运动,且其走向与板块边界一致。(2分)

该地位于印度洋板块(阿拉伯板块)与亚欧板块交界附近;(若答到该点可给2分)

(2) 根据甲、乙两地的沉积地层特征，推测海水从扎格罗斯前陆盆地退出的方向并加以说明。
(6分)

方向：从西北向东南退出；(2分)

位于西北的甲地 A 组地层主要形成于河流环境，

位于东南的乙地 A 组地层则形成于三角洲环境；(2分)

这表明上新世甲地已经形成陆地，而乙地则邻近海洋，可以推测海水自西北向东南退出扎格罗斯前陆盆地。(2分)

(3) 从内、外力作用角度说明扎格罗斯前陆盆地从海洋演化为陆地的过程。(6分)

印度洋板块向东北移动，与亚欧板块挤压(碰撞)，形成褶皱山脉；(2分)

扎格罗斯前陆盆地(古海洋)则形成浅海；(2分)

隆起的山脉被侵蚀后的物质大量随河流流入扎格罗斯地区，从西北向东南逐渐堆积填平海域，形成陆地。(2分)